

PHILIPS

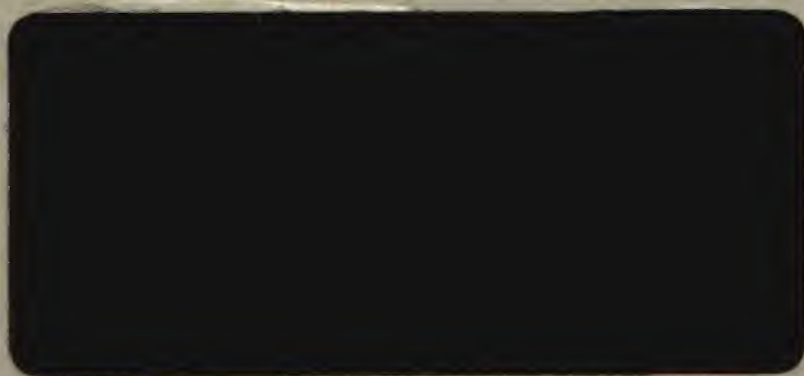




Fig. 4 Anwendung des Traggriffs

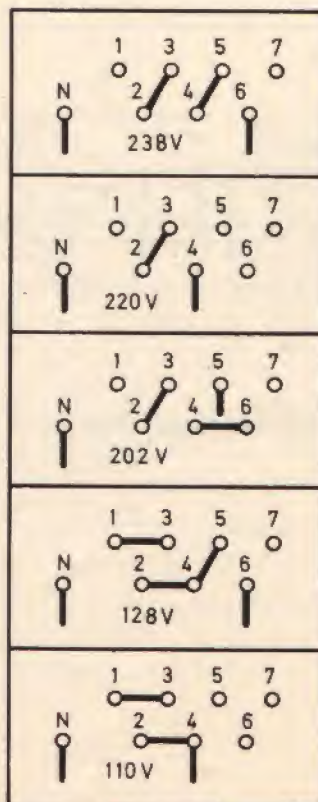


Fig. 5 Beschaltung des Netztrafos für verschiedene Netzspannungen

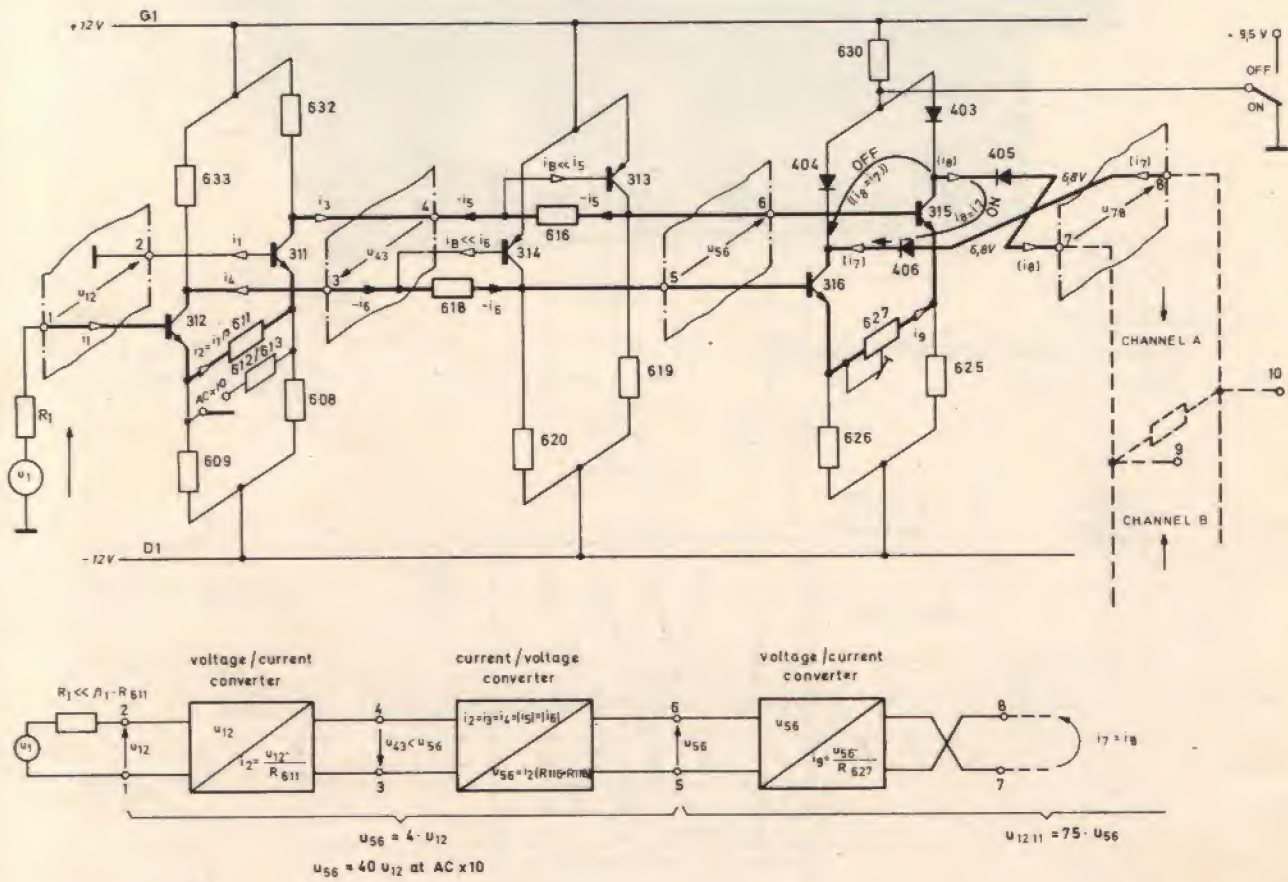


Fig. 6 Grundprinzip des Y-Vorverstärkers und Kanalschalters

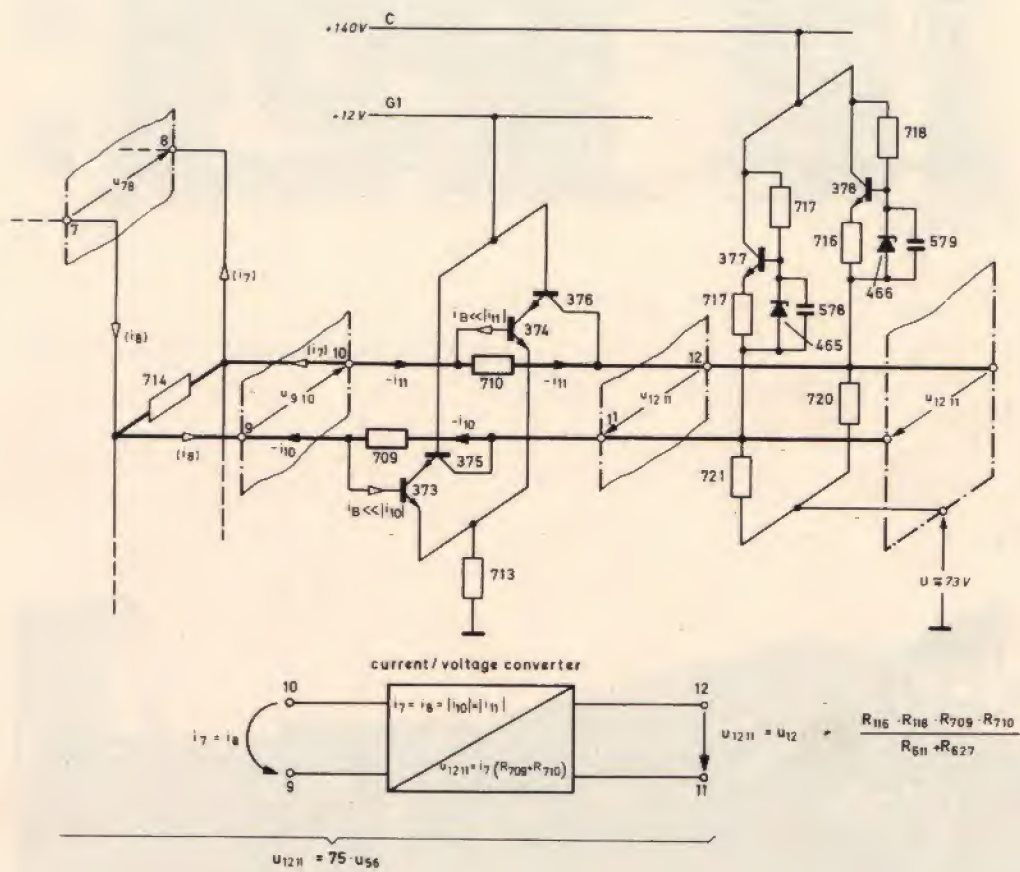


Fig. 7 Grundprinzip des Y-Endverstärkers

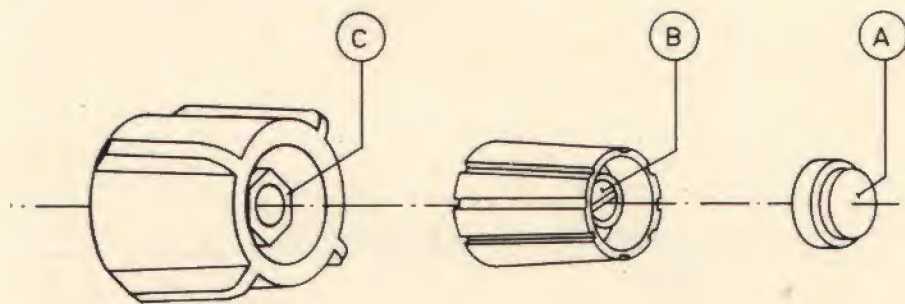


Fig. 8 Abnehmen der Knöpfe

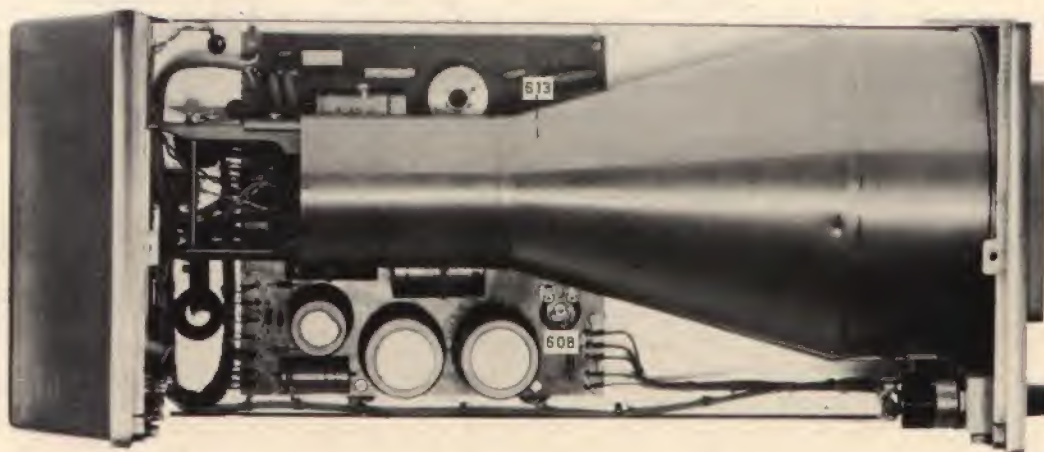


Fig. 9 Abgleichelemente auf UNIT 4

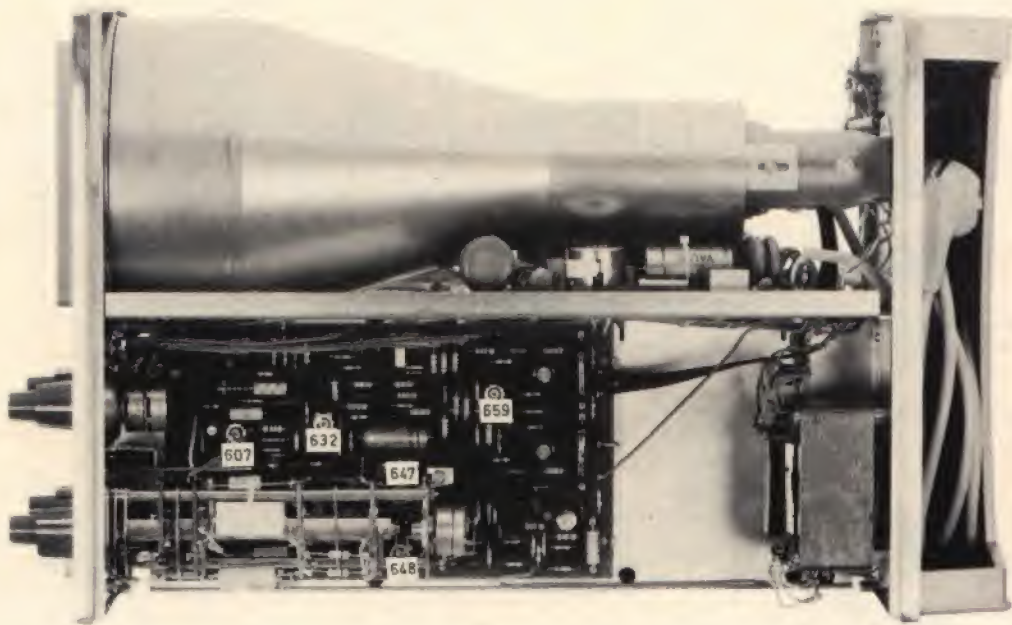


Fig. 10 Abgleichelemente auf UNIT 3

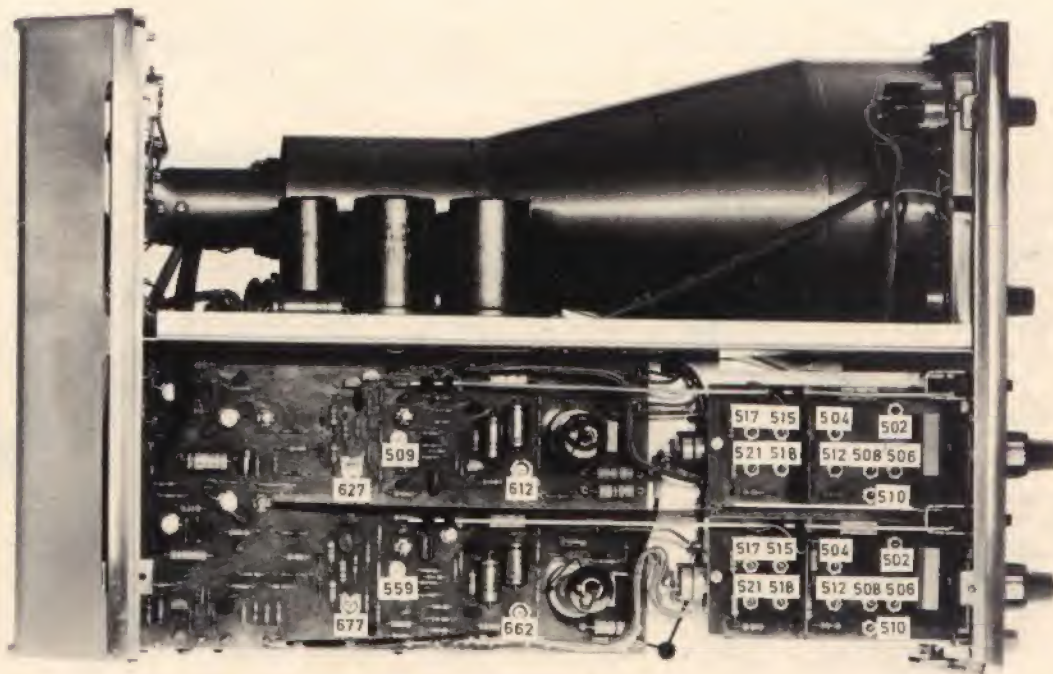
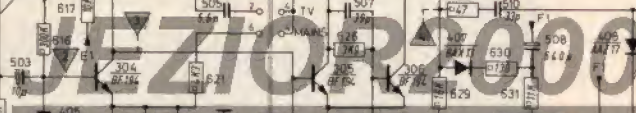
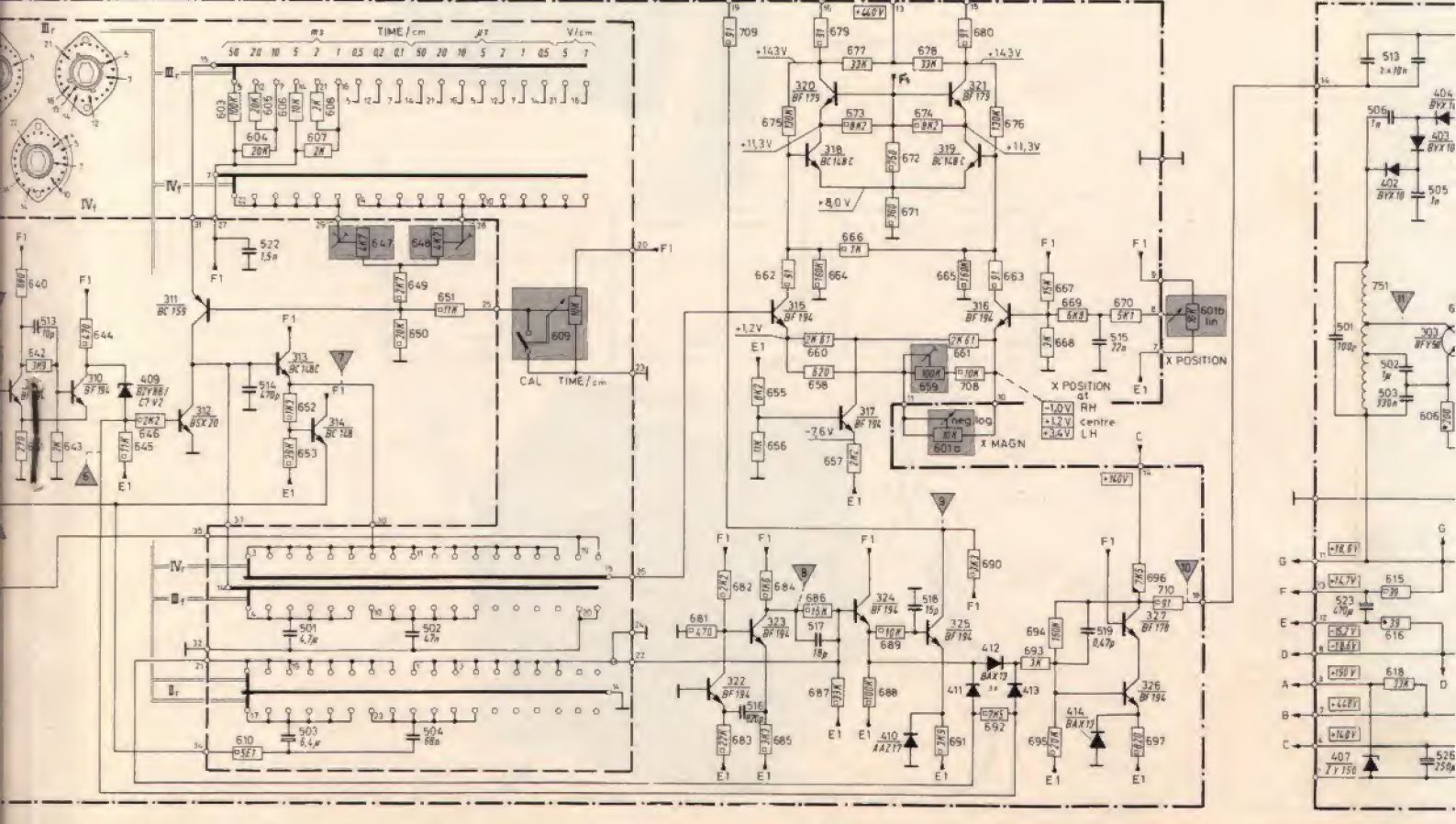
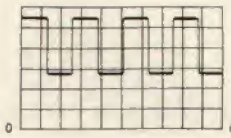
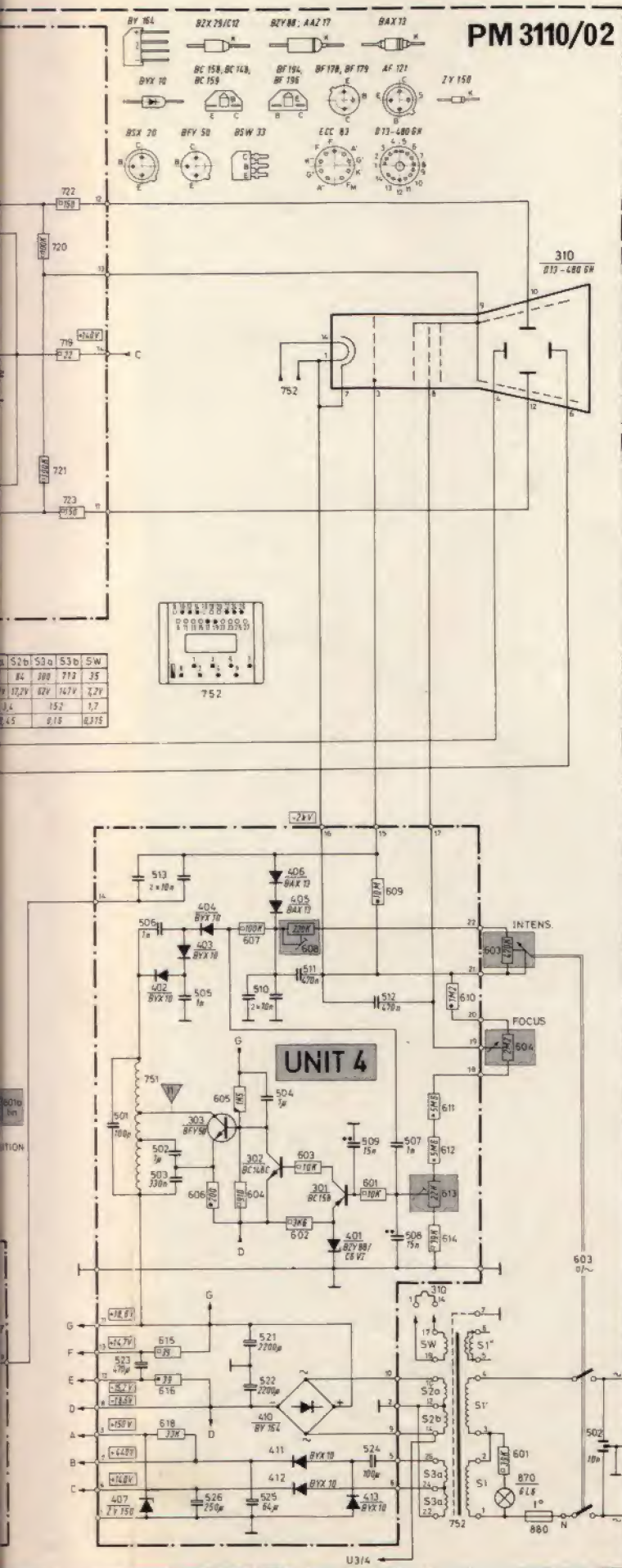


Fig. 11 Abgleichelemente auf UNIT 2 und UNIT 1

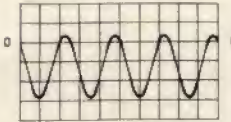


	S1	S1'	S1''	S1*	S2a	S2b	S3a	S3b	SW
TURNS	535	535	87	87	84	84	200	712	25
RMS VOLTAGE	110V	110V	10V	70V	17.2V	17.2V	62V	147V	7.2V
@ 20°C	25, 8	25, 5	2, 5	2, 5	3, 4	15, 2	18, 2	1, 7	
W	0, 28	0, 25	0, 25	0, 25	0, 45		0, 18	0, 215	

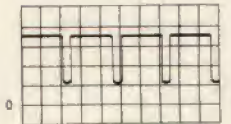




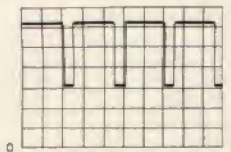
1
X=0,2ms/div
Y=2V/div
PROBE ADI-Signal (mit DC-Kopplung)



2
X=0,2ms/div
Y=2V/div
Sinussignal gekoppelt von Röhre 405103
PM 3110: Sinus mit $U_{as}=5V, 2kHz$ an $Y_p(1V/cm)$
Trigg auf r_1 7b, NORM Zeitbasis 0,1ms/cm



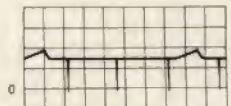
3
X=0,2ms/div
Y=2V/div
Ausgang Stromschaltstufe
PM 3110: wie 2



4
X=0,2ms/div
Y=2V/div
Ausgang 1 Schmitt-Trigger
PM 3110: wie 2



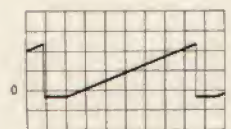
5
X=0,2ms/div
Y=2V/div
Modul-eHF-Spannung
PM 3110: wie 2



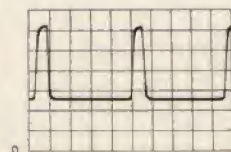
6
X=0,2ms/div
Y=2V/div
Trigger-Impulse am Eingang der Zeitbasis
PM 3110: wie 2



7
X=0,2ms/div
Y=2V/div
Ansteuerimpuls des Zeitbasisschalters
und der Z-Steuierung
PM 3110: wie 2



8
X=0,2ms/div
Y=2V/div
Zeitbasissignal
PM 3110: wie 2



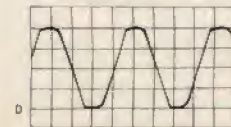
9
X=0,5μs/div
Y=2V/div
Ausgang Choppermultivibrator im geprüften Bereich
PM 3110 (Zeitbasis auf 0,2ms/cm)



10
X=0,2ms/div
Y=2V/div
Flipflop Ansteuerimpuls (alternierender Betrieb)
PM 3110: wie 2



11
X=0,2ms/div
Y=20V/div
Z-Ausgangsspannung im alternierenden Betrieb
PM 3110: wie 2



12
X=5μs/div
Y=10V/div
Kollektorspannung des Oszillatortransistors 30310/4